

چکیده

آسیاهای گلوله‌ای به طور گستردۀ ای در آسیا کردن مواد معدنی مورد استفاده قرار می‌گیرند. آسیاکنی با این نوع آسیا بسیار هزینه بر است، بنابراین بهینه سازی این آسیاهای ضروری است. شبیه سازی می‌تواند به عنوان یک ابزار مناسب در مطالعه عملکرد مدارهای آسیاکنی به منظور ارزیابی طرح‌های مختلف و شناسایی شرایط بهینه عملیاتی مورد استفاده قرار گیرد.

مدار فرآوری سه چاهون از آسیای گلوله‌ای برای خردکردن کنسانتره جداکننده‌های مغناطیسی اولیه تا ابعاد کوچکتر از ۸۰ میکرون استفاده می‌کند. به علت تغییرات بار ورودی، آسیای فوق الذکر قادر به تامین ابعاد محصول مورد نیاز نبوده است. در تحقیق حاضر عملکرد این مدار مطالعه شده است. در این بررسی ضمن مرور داده‌های کارخانه، با انجام تغییر پارامترهای عملیاتی در مدار، عملکرد آسیای گلوله‌ای و هیدروسیکلون بررسی شده است.

مشاهده گردید که با افزایش خوراک بار ورودی تا ۳۰۰ تن بر ساعت، ابعاد سرریز هیدروسیکلون کاهش پیدا کرده است. همین روند برای کاهش درصد جامد خوراک ورودی به هیدروسیکلون نیز مشاهده شد. از آنجا که تغییر بعضی از پارامترها در مقیاس صنعتی امکان پذیر نبود، از روش شبیه سازی برای پیش‌بینی تاثیر این پارامترها بر عملکرد مدار آسیا استفاده شد. به این منظور از جریان‌های مختلف مدار نمونه گیری و آزمایش‌های خردایش در مقیاس آزمایشگاهی انجام شد. سپس با استفاده از نرم افزار JKSimMet مدار آسیای گلوله‌ای شبیه سازی شد. نتایج شبیه سازی همخوانی خوبی برای توزیع دانه بندی و درصد جامد جریان‌های مختلف نشان داد.

نتایج این شبیه سازی نشان داد که با انجام تغییراتی در پارامترهای مدار، امکان بهبود کارآیی آن وجود دارد. مثلاً با قرار دادن هیدروسیکلون در ابتدای مدار نسبت خردایش آسیا از ۱/۸ به ۳/۴۴ افزایش می‌یابد و محصول نهایی مدار (سرریز سیکلون) به ۹۱ میکرون کاهش می‌یابد. همچنین دبی ورودی به آسیا از ۳۷۰ تن بر ساعت به ۲۲۵/۵ تن بر ساعت تغییر می‌کند. یعنی با تغییر در مدار امکان افزایش ظرفیت آسیا وجود دارد.

کلمات کلیدی: آسیای گلوله‌ای، هیدروسیکلون، تابع شکست و انتخاب، مدل سازی و شبیه سازی، نرم افزار JKSimMet

فهرست مطالب

عنوان	صفحة
۱- فصل اول: مجتمع سنگ آهن چغارت	
۱-۱- مقدمه.....	۳
۱-۲- اطلاعات جغرافیایی معدن سه‌چاهون.....	۳
۱-۳- تاریخچه اکتشافات در سه‌چاهون.....	۳
۱-۴- زمین شناسی منطقه.....	۴
۱-۵- ذخیره قابل استخراج.....	۴
۱-۶- کارخانه فرآوری خط سه‌چاهون.....	۴
۱-۷- خط تولید سه‌چاهون.....	۵
۲- فصل دوم: مدل‌سازی آسیای گلوله‌ای و هیدروسیکلون	
۲-۱- مقدمه.....	۱۳
۲-۲- آسیاهای گردان.....	۱۳
۲-۳- آسیای گلوله‌ای.....	۱۴
۲-۴- انواع آسیاهای گلوله‌ای.....	۱۶
۲-۵- مشخصات اصلی و عمدۀ آسیای گلوله‌ای.....	۱۶
۲-۵-۱- اندازه‌های خوراک و محصول.....	۱۷
۲-۵-۲- پرشدگی آسیا از گلوله.....	۱۷
۲-۵-۳- اندازه و شکل گلوله.....	۱۷
۲-۵-۴- سرعت بحرانی.....	۱۹
۲-۵-۵- سیستم جعبه دندۀ.....	۲۰
۲-۵-۶- نسبت طول به قطر.....	۲۰
۲-۵-۷- سیستم‌های آستر.....	۲۰
۲-۵-۸- توان آسیای گلوله‌ای.....	۲۱
۲-۶- کلیات شبیه سازی مدارهای خردایش.....	۲۳
۲-۶-۱- تعریف شبیه سازی مدارهای خردایش.....	۲۴
۲-۶-۲- اهداف شبیه سازی مدارهای آسیاکنی:	۲۴
۲-۶-۳- مدل‌های ریاضی در شبیه سازی مدار.....	۲۷
۲-۶-۴- مدل ماتریسی.....	۲۸
۲-۶-۵- معادله ریاضی سینتیکی.....	۳۲
۲-۷- تابع ظهور.....	۳۴
۲-۷-۱- تابع ظهور JKMRC.....	۳۵
۲-۸- تئوری تابع شکست و تابع انتخاب در مباحث خردایش.....	۳۸
۲-۸-۱- تابع شکست.....	۳۸

۴۶	۲-۸-۲- تابع انتخاب.....
۴۹	۲- کاربرد توابع شکست و انتخاب.....
۴۹	۲-۱- مدل‌سازی هیدروسیکلون.....
۵۰	۲-۱-۱- اصول اساسی کار هیدروسیکلون.....
۵۲	۲-۱-۰-۲- مدل‌های تجربی کارآبی هیدروسیکلون ها.....

۳- فصل سوم: نمونه برداری و کارهای آزمایشگاهی انجام شده

۶۱	۳-۱- مقدمه.....
۶۲	۳-۲- نمونه‌گیری از قسمت‌های مختلف مدار آسیای گلوله‌ای سه‌چاهون.....
۶۳	۳-۳- نمونه‌گیری از شاخه‌های مختلف هیدروسیکلون به منظور محاسبه انحراف معیار درصد جامد جریان‌ها.....
۶۵	۳-۴- نمونه‌گیری از مدار برای تعیین کارآبی آسیا و هیدروسیکلون.....
۶۵	۳-۴-۱- عملکرد فعلی آسیای گلوله‌ای سه‌چاهون.....
۶۷	۳-۴-۲- عملکرد هیدروسیکلون سه‌چاهون.....
۷۴	۳-۵- قابلیت خردایش (اندیس کار بند) خوراک آسیای گلوله‌ای سه‌چاهون.....
۷۵	۳-۵-۱- اندیس کار آزمایشگاهی.....
۷۷	۳-۵-۲- اندیس کار عملیاتی.....
۸۰	۳-۶- آزمایش‌های انجام شده برای تعیین تابع شکست خوراک آسیای گلوله‌ای سه‌چاهون.....
۸۰	۳-۶-۱- مواد و تجهیزات.....
۹۰	۳-۷- تعیین تابع انتخاب آزمایشگاهی خوراک آسیای گلوله‌ای سه‌چاهون.....
۹۲	۳-۸- تعیین تابع انتخاب صنعتی خوراک آسیای گلوله‌ای سه‌چاهون با نرم افزار NGOTC.....
۹۵	۳-۹- تعیین ضرایب کالیبراسیون مدل‌های پلیت و ناگسوارا رأو.....
۱۰۵	۳-۱۰- محاسبه توزیع زمان ماند مواد در آسیای گلوله‌ای سه‌چاهون.....
۱۰۶	۳-۱۱- شبهیه سازی مدار فرآوری سه‌چاهون با نرم افزار BMCS.....
۱۰۶	۳-۱۱-۱- معرفی نرم افزار BMCS.....
۱۰۶	۳-۱۱-۲- پارامترهای مورد نیاز در نرم افزار BMCS و نتایج شبهیه سازی.....

۴- فصل چهارم: بررسی نتایج تغییر پارامترهای عملیاتی مدار فرآوری سه‌چاهون

۱۱۵	۴-۱- مقدمه.....
۱۱۵	۴-۲- تغییر خوراک تازه ورودی به آسیای خود شکن (خوراک تازه).....
۱۱۹	۴-۳- تغییر آب اضافه شده به جداکننده مغناطیسی ثانویه.....
۱۲۳	۴-۴- تغییر در شیرهای خوراک ورودی به شاخه هیدروسیکلون.....
۱۲۷	۴-۵- حذف بار در گردش آسیای خود شکن و تأثیر آن بر مدار.....

۵- فصل پنجم: شبهیه سازی مدار آسیای گلوله‌ای سه‌چاهون با استفاده از نرم افزار JKSimMet

۱۳۱	۵-۱- مقدمه.....
۱۳۳	۵-۲- ویژگی‌های اصلی نرم افزار JKSimMet.....
۱۳۳	۵-۱-۲- محدودیت‌ها.....
۱۳۴	۵-۲-۲- اجزاء.....

۱۳۴JKSimMet ۳-۲-۵- چگونگی کار کردن
۱۴۰JKSimMet ۳-۵- شبیه سازی مدار بسته آسیای گلوله‌ای سه‌چاهون با نرم افزار
۱۴۱۳-۵- مدل‌های ریاضی
۱۴۳۲-۳-۵- موازنۀ جرم
۱۴۵۳-۳-۵- برآش مدل
۱۴۵۴-۳-۵- شبیه سازی
۱۵۰JKSimMet ۴-۵- بررسی تأثیر پارامترهای عملیاتی بر عملکرد مدار خردایش به کمک شبیه ساز
۱۵۰۱-۴-۵- شبیه سازی ۱- کاهش قطر سریز سیکلون به منظور دستیابی به محصول ریزتر
۱۵۲۲-۴-۵- شبیه سازی ۲- افزایش قطر ته ریز هیدروسیکلون به منظور دستیابی به محصول ریزتر
۱۵۳۳-۴-۵- شبیه سازی ۳- بررسی تأثیر تغییر بزرگ‌ترین قطر گلوله‌های شارژ شده به آسیای گلوله‌ای
۱۵۴۴-۴-۵- شبیه سازی ۴- افزایش درجه انباشتگی آسیای گلوله‌ای به منظور دستیابی به محصول ریزتر
۱۵۵۵-۴-۵- شبیه سازی ۵- جایگزینی سیکلون با قطر کمتر به منظور دستیابی به محصول ریزتر
۱۵۷۶-۴-۵- شبیه سازی ۶- شبیه سازی تأثیرات تغییرات کلی
۱۵۸۷-۴-۵- بررسی پارامترهای طراحی بهینه هیدروسیکلون جهت دست یافتن به محصول مورد نظر
۱۶۰۵-۵- بررسی تأثیر خارج کردن بار در گردش آسیای خودشکن از مدار سه‌چاهون
۱۶۳۶-۵- بررسی تأثیر تغییر فلوشیت مدار آسیای گلوله‌ای

۶- فصل ششم: نتیجه گیری و پیشنهادها

۱۶۹۱-۶- نتیجه گیری
۱۶۹۱-۱-۶- نتایج بررسی عملکرد مدار آسیای گلوله‌ای سه‌چاهون
۱۷۰۱-۲-۶- نتایج تغییرات عملی ایجاد شده در مدار آسیای گلوله‌ای سه‌چاهون
۱۷۱۱-۳-۶- نتایج شبیه سازی مدار آسیای گلوله‌ای سه‌چاهون
۱۷۴۲-۶- پیشنهادها

فهرست جدول‌ها

عنوان	صفحة
جدول ۱-۱- مشخصات طراحی مدار بسته آسیای گلوله‌ای سه‌چاهون	۷
جدول ۱-۲- مشخصات هندسی هیدروسیکلون سه‌چاهون	۸
جدول ۱-۳- مشخصات جداکننده‌های مغناطیسی اولیه	۸
جدول ۱-۴-۱- مشخصات جریان مربوط به هر یک از شاخه‌های خط تولید سه‌چاهون در طراحی اولیه انجام گرفته	۹
جدول ۱-۲- اندازه گلوله‌های معمول	۱۸
جدول ۲-۱- توزیع ابعادی بار اولیه و محصول از یک فرآیند کاهش ابعاد	۲۹
جدول ۲-۲- موازنۀ جرمی در یک فرآیند کاهش ابعاد	۳۰
جدول ۲-۳- محصول حاصل از فرآیند کاهش ابعاد بر حسب بار اولیه	۳۱
جدول ۳-۱- چگونگی تشکیل معادله عمومی ماتریس شکست	۳۲
جدول ۳-۲- نمونه گیرهای نصب شده در مدار خط تولید سه‌چاهون	۶۲
جدول ۳-۳- درصد جامد و انحراف معیار اندازه گیری شده برای جریان‌های اطراف سیکلون	۶۴
جدول ۳-۴- دانه بندی جریان‌های مختلف مدار بسته آسیای گلوله‌ای سه‌چاهون در وضعیت فعلی کارخانه	۶۷
جدول ۴-۱- متوسط درصد جامد و رقت جریان‌های اطراف هیدروسیکلون S1	۶۹
جدول ۴-۲- تعیین ضریب توزیع هیدروسیکلون سه‌چاهون در وضعیت فعلی کارخانه برای نمونه S1	۷۲
جدول ۴-۳- تغییرات d_{50} نسبت به توزیع دانه بندی	۷۴
جدول ۵-۱- مشخصات نمونه آماده شده برای آزمایش استاندارد اندیس کار باند	۷۶
جدول ۵-۲- اندیس کار بدست آمده از روش استاندارد باند	۷۷
جدول ۵-۳- اندیس کار عملیاتی محاسبه شده برای نمونه گیری S3	۷۹
جدول ۱۰-۱- ترکیب گلوله‌ها در آسیای استاندارد باند	۸۲
جدول ۱۱-۱- ترکیب گلوله‌ها در آسیای آزمایشگاهی جهت انجام آزمایش تابع شکست	۸۲
جدول ۱۲-۱- تابع شکست غیر تجمعی خوراک خط سه‌چاهون به روش برووه توسعه نرم افزار BFDS	۸۶
جدول ۱۳-۱- تابع شکست غیر تجمعی خوراک خط سه‌چاهون به روش H&F توسعه نرم افزار BFDS	۸۷
جدول ۱۴-۱- تابع شکست غیر تجمعی خوراک خط سه‌چاهون به روش H&F اصلاح شده با نرم افزار BFDS	۸۸
جدول ۱۵-۱- تابع انتخاب آزمایشگاهی محاسبه شده توسعه نرم افزار BFDS برای خوراک آسیای گلوله‌ای	۹۱
جدول ۱۶-۱- تابع انتخاب صنعتی خوراک آسیای گلوله‌ای سه‌چاهون محاسبه شده با نرم افزار NGOTC	۹۳
جدول ۱۷-۱- متوسط درصد جامد و رقت جریان‌های اطراف هیدروسیکلون در نمونه گیری S4	۹۷
جدول ۱۸-۱- تعیین ضریب توزیع هیدروسیکلون سه‌چاهون برای نمونه گیری S4	۹۹
جدول ۱۹-۱- مشخصات (پارامترهای طراحی) هیدروسیکلون سه‌چاهون	۱۰۱
جدول ۲۰-۱- مقادیر تجربی متغیرهای عملیاتی برای هیدروسیکلون سه‌چاهون در نمونه گیری S4	۱۰۱
جدول ۲۱-۱- متغیرهای وابسته محاسبه شده از روابط پلیت برای هیدروسیکلون سه‌چاهون برای نمونه S4	۱۰۲
جدول ۲۲-۱- ضرایب کالیبراسیون مدل پلیت برای نمونه S4	۱۰۲
جدول ۲۳-۱- متغیرهای وابسته محاسبه شده از روابط ناگسوارا رائو برای هیدروسیکلون برای نمونه گیری S4	۱۰۲
جدول ۲۴-۱- ضرایب کالیبراسیون مدل ناگسوارا رائو برای نمونه گیری S4	۱۰۳
جدول ۲۵-۱- مقادیر تجربی متغیرهای عملیاتی برای هیدروسیکلون سه‌چاهون در نمونه گیری S1	۱۰۳
جدول ۲۶-۱- متغیرهای وابسته محاسبه شده از روابط پلیت برای هیدروسیکلون سه‌چاهون برای نمونه S1	۱۰۳

۱۰۴	جدول ۲۷-۳- ضرایب کالیبراسیون مدل پلیت برای نمونه S1
۱۰۴	جدول ۲۸-۳- مقادیر تجربی متغیرهای عملیاتی برای هیدروسیکلون سه‌چاهون در نمونه گیری S3
۱۰۴	جدول ۲۹-۳- متغیرهای وابسته محاسبه شده از روابط پلیت برای هیدروسیکلون سه‌چاهون برای نمونه S3
۱۰۵	جدول ۳۰-۳- ضرایب کالیبراسیون مدل پلیت برای نمونه S3
۱۰۵	جدول ۳۱-۳- پارامترهای توزیع زمان ماند مدار آسیای گلوله‌ای سه‌چاهون (محاسبه شده توسط RTDWEN)
۱۰۷	جدول ۳۲-۳- مشخصات جریان‌های شبیه سازی شده مدار آسیای گلوله‌ای سه‌چاهون در نرم افزار BMCS
۱۰۸	جدول ۳۳-۳- دانه بندی خوراک و محصول شبیه سازی شده آسیای گلوله‌ای سه‌چاهون در نرم افزار BMCS
۱۰۹	جدول ۳۴-۳- توزیع ابعادی جریان‌های اطراف هیدروسیکلون در شبیه سازی مدار توسط نرم افزار BMCS
۱۱۱	جدول ۳۵-۳- پارامترهای شبیه سازی شده مدل پلیت در نرم افزار BMCS
۱۱۶	جدول ۱-۴- اطلاعات جریان‌های مختلف مدار در تغییر خوراک ورودی به آسیای خودشکن
۱۲۰	جدول ۲-۴- اطلاعات جریان‌های مختلف مدار در تغییر درصد جامد خوراک ورودی
۱۲۴	جدول ۳-۴- اطلاعات جریان‌های مختلف مدار در تغییر دی خوراک ورودی سیکلون
۱۴۵	جدول ۱-۵- نتایج موازنۀ جرم مدار آسیای گلوله‌ای سه‌چاهون توسط نرم افزار JKSimMet
۱۴۵	جدول ۲-۵- نتایج برآش مدل مدار آسیای گلوله‌ای سه‌چاهون توسط نرم افزار JKSimMet
۱۴۶	جدول ۳-۵- مشخصات جریان‌های شبیه سازی شده مدار آسیای گلوله‌ای در نرم افزار JKSimMet
۱۴۹	جدول ۴-۵- مشخصات جریان‌های تجربی و شبیه سازی شده مدار آسیای گلوله‌ای در نرم افزار JKSimMet
۱۵۱	جدول ۵-۵- نتایج شبیه سازی با قطر سرریز ۲۳ سانتی متر
۱۵۱	جدول ۶-۵- نتایج شبیه سازی با قطر سرریز ۲۰ سانتی متر
۱۵۲	جدول ۷-۵- نتایج شبیه سازی با قطر سرریز ۱۵ سانتی متر
۱۵۳	جدول ۸-۵- نتایج شبیه سازی برای مقادیر مختلف قطر ته ریز هیدروسیکلون
۱۵۳	جدول ۹-۵- نتایج شبیه سازی برای مقادیر مختلف بزرگ‌ترین قطر گلوله شارژ شده
۱۵۴	جدول ۱۰-۵- نتایج شبیه سازی مدار در مقادیر مختلف از درجه انباشتگی گلوله
۱۵۵	جدول ۱۱-۵- نتایج شبیه سازی با قطر سیکلون ۶۰ سانتی متر
۱۵۶	جدول ۱۲-۵- نتایج شبیه سازی با قطر سیکلون ۵۵ سانتی متر
۱۵۶	جدول ۱۳-۵- نتایج شبیه سازی با قطر سیکلون ۵۰ سانتی متر
۱۵۷	جدول ۱۴-۵- نتایج شبیه سازی با قطر سیکلون ۴۶ سانتی متر
۱۵۸	جدول ۱۵-۵- نتایج شبیه سازی برای تغییرات کلی ایجاد شده در پارامترهای طراحی مدار
۱۵۹	جدول ۱۶-۵- پارامترهای طراحی بهینه هیدروسیکلون برای دستیابی به محصول مورد نظر
۱۵۹	جدول ۱۷-۵- مقادیر برآش مدل برای پارامترهای آسیا و هیدروسیکلون
۱۵۹	جدول ۱۸-۵- نتایج شبیه سازی برای تأثیر تغییر همزمان پارامترهای طراحی هیدروسیکلون
۱۶۱	جدول ۱۹-۵- نتایج موازنۀ جرم مدار آسیای گلوله‌ای سه‌چاهون توسط نرم افزار JKSimMet برای نمونه S4
۱۶۲	جدول ۲۰-۵- نتایج برآش مدل شبیه سازی مدار آسیای گلوله‌ای توسط نرم افزار JKSimMet برای نمونه S4
۱۶۲	جدول ۲۱-۵- نتایج شبیه سازی مدار آسیای گلوله‌ای سه‌چاهون توسط نرم افزار JKSimMet برای نمونه S4
۱۶۴	جدول ۲۲-۵- مقادیر پارامترهای طراحی هیدروسیکلون مدار آسیای گلوله‌ای سه‌چاهون برای فلوشیت پیشنهادی..
۱۶۴	جدول ۲۳-۵- نتایج موازنۀ جرم مدار آسیای گلوله‌ای سه‌چاهون برای فلوشیت پیشنهادی
۱۶۵	جدول ۲۴-۵- نتایج برآش مدل مدار سه‌چاهون توسط نرم افزار JKSimMet برای فلوشیت پیشنهادی
۱۶۵	جدول ۲۵-۵- نتایج شبیه سازی مدار سه‌چاهون توسط نرم افزار JKSimMet برای فلوشیت پیشنهادی

فهرست شکل‌ها

عنوان	
صفحه	
۷	شکل ۱-۱- فلوشیت خط تولید سه‌چاهون کارخانه فرآوری چغارت
۱۵	شکل ۱-۲- تصویری از آسیای گلوله‌ای سه‌چاهون
۱۹	شکل ۲-۲- گلوله‌هایی با قطر مختلف در آسیای گلوله‌ای سه‌چاهون
۲۱	شکل ۳-۲- آسترها لاستیکی آسیای گلوله‌ای سه‌چاهون
۳۶	شکل ۴-۲- نمودارهای $t_{\text{ا}} = 10$ مقابله با N
۳۷	شکل ۵-۲- تصویری از دستگاه وزنی افتان
۳۹	شکل ۶-۲- نمودار لگاریتمی تابع توزیع شکست
۴۱	شکل ۷-۲- توزیع دانه بندی حاصل از شکست یک سنگ در اثر فقط یک ضربه
۴۵	شکل ۸-۲- تابع شکست قابل نرمال شدن
۴۵	شکل ۹-۲- تابع شکست غیر قابل نرمال شدن
۴۷	شکل ۱۰-۲- نمودار محاسبه تابع انتخاب
۵۱	شکل ۱۱-۲- نمایی از قسمت‌های مختلف سیکلون و نحوه کار آن
۶۳	شکل ۱-۳- نمونه گیر نصب شده برای خوارک هیدروسیکلون
۶۴	شکل ۲-۳- نقاط نمونه برداری از مدار آسیای گلوله‌ای سه‌چاهون
۶۶	شکل ۳-۳- دانه بندی جریان‌های مختلف مدار در وضعیت فعلی کارخانه
۶۸	شکل ۴-۳- توزیع‌های ابعادی خوارک، سرریز و ته ریز هیدرو سیکلون در نمونه گیری S1
۷۲	شکل ۵-۳- منحنی‌های توزیع هیدروسیکلون سه‌چاهون برای نمونه S1
۸۰	شکل ۶-۳- تغییرات اندیس کار عملیاتی در طی نمونه برداری S3
۸۹	شکل ۷-۳- تابع شکست غیر تجمعی محاسبه شده به روش بروبه
۸۹	شکل ۸-۳- تابع شکست غیر تجمعی محاسبه شده به روش H&F
۹۰	شکل ۹-۳- تابع شکست غیر تجمعی محاسبه شده به روش H&F اصلاح شده
۹۲	شکل ۱۰-۳- تابع انتخاب آزمایشگاهی خوارک آسیای گلوله‌ای برای فراکسیون‌های مختلف ابعادی
۹۵	شکل ۱۱-۳- نمودار تابع انتخاب صنعتی محاسبه شده خوارک آسیای گلوله‌ای با استفاده از نرم افزار NGOTC
۹۶	شکل ۱۲-۳- دستگاه دانسیته سنج پالپ مارسی مورد استفاده در کارخانه فرآوری چغارت
۹۸	شکل ۱۳-۳- توزیع‌های ابعادی خوارک، سرریز و ته ریز هیدرو سیکلون برای نمونه S4
۱۰۰	شکل ۱۴-۳- منحنی‌های توزیع هیدروسیکلون سه‌چاهون برای نمونه S4
۱۱۰	شکل ۱۵-۳- مقایسه بین توزیع دانه بندی خوارک واقعی و شبیه سازی شده آسیا در نرم افزار BMCS
۱۱۰	شکل ۱۶-۳- مقایسه بین توزیع دانه بندی محصول واقعی و شبیه سازی شده آسیا در نرم افزار BMCS
۱۱۱	شکل ۱۷-۳- مقایسه بین توزیع دانه بندی سرریز و ته ریز واقعی و شبیه سازی شده در نرم افزار BMCS
۱۱۷	شکل ۱-۴- تغییرات خوارک ورودی به آسیای گلوله‌ای و کنسانتره تولیدی نسبت به خوارک تازه ورودی به مدار
۱۱۸	شکل ۲-۴- تغییرات درصد جامد شاخه‌های مختلف مدار در مقادیر مختلف خوارک تازه ورودی
۱۱۸	شکل ۳-۴- رابطه تغییر d_{80} محصول با مقادیر مختلف خوارک تازه ورودی
۱۱۹	شکل ۴-۴- نمودار توزیع دانه بندی سرریز سیکلون در ازای مقادیر مختلف خوارک تازه ورودی
۱۲۱	شکل ۵-۴- تغییرات درصد جامد شاخه‌های مختلف سیکلون در مقادیر مختلف آب اضافه شده به تانک مگنت
۱۲۲	شکل ۶-۴- تغییرات درصد جامد خوارک سیکلون نسبت به درصد جامد خوارک سیکلون

شکل ۷-۴- تغییرات خوراک ورودی به مدار و کنسانتره تولیدی در نمونه تغییر درصد جامد خوراک سیکلون	۱۲۲
شکل ۸-۴- نمودار تغییرات d80 محصول با تناژ خشک ورودی به هیدروسیکلون	۱۲۵
شکل ۹-۴- تغییرات درصد جامد شاخهای مختلف سیکلون در مقادیر مختلف فشار پالپ ورودی به سیکلون	۱۲۶
شکل ۱۰-۴- تغییرات خوراک تازه ورودی و کنسانتره تولیدی در نمونه گیری مربوط به تغییر فشار	۱۲۶
شکل ۱۱-۴- دانه بندی خوراک ورودی به آسیای گلوله‌ای قبل و بعد از خارج کردن بار در گردش	۱۲۷
شکل ۱-۵- فلوشیت مدار و نتایج موازنۀ جرمی بدست آمده توسط JKSIMMet	۱۴۴
شکل ۲-۵- توزیع دانه بندی خوراک تازه ورودی شبیه سازی شده آسیای گلوله‌ای	۱۴۷
شکل ۳-۵- مقایسه بین توزیع دانه بندی خوراک، سرریز و ته ریز شبیه سازی شده هیدروسیکلون در نرم افزار	۱۴۷
شکل ۴-۵- مقدار خطای کلی و اعتبار سنجی مدل برای جریان‌های اطراف هیدروسیکلون	۱۴۸
شکل ۵-۵- مقایسه کلی بین جریان‌های شبیه سازی شده توسط نرم افزار JKSIMMet و مقادیر واقعی	۱۴۹
شکل ۶-۵- فلوشیت مدار و نتایج موازنۀ جرم بدست آمده توسط S4 برای نمونه	۱۶۰
شکل ۷-۵- فلوشیت پیشنهادی برای مدار بسته آسیای گلوله‌ای سه‌چاهون	۱۶۳
شکل ۸-۵- توزیع دانه بندی جریان‌های مختلف هیدروسیکلون شبیه سازی شده توسط نرم افزار JKSIMMet	۱۶۶
شکل ۹-۵- خطای کلی شبیه سازی جریان‌های مختلف سیکلون توسط نرم افزار برای فلوشیت پیشنهادی	۱۶۶

فرآیندهای آسیاکنی نقش مهمی در مدارهای خردایش و طبقه بندی دارند. بهینه کردن این مدار منجر به بهبود عملیات از نظر فنی و اقتصادی می‌شود. آسیاهای گلوله‌ای معمولاً در مدار بسته با هیدروسیکلون کار می‌کنند. هر دو وسیله فوق به پارامترهای عملیاتی حساس هستند. تکنیک‌های شبیه سازی را می‌توان به عنوان یک ابزار مناسب در مطالعه عملکرد مدارهای آسیاکنی به کار برد. نرم افزار JKSIMMet یک شبیه ساز متداول در خردایش است که در سال‌های اخیر به منظور طراحی و بهینه سازی مدارهای آسیاکنی مورد استفاده قرار گرفته است. هدف این پژوهه بررسی عملکرد فعلی مدار آسیاکنی سه چاهون و امکان بهینه سازی این مدار به منظور افزایش ظرفیت و کاهش ابعاد محصول نهایی است. در حال حاضر، اندازه خوراک تازه ورودی به آسیاکنی ۲۴۰ میکرون در مقایسه با مقدار طراحی، ۴۶۰ میکرون، است. محصول نهایی مدار نسبت به طراحی (حدود ۸۰ میکرون) درشت تر (۸۸/۴ میکرون) می‌باشد. نسبت خردایش آسیا ۲/۷۱ است که به طور قابل ملاحظه‌ای کمتر از مقدار طراحی (۵/۵۷) است. در ادامه نحوه بررسی مدار، نتایج حاصل از مطالعات صنعتی، شبیه سازی مدار و پیشنهادهای ارائه شده به منظور بهینه سازی آن آمده است.

این گزارش در ۶ فصل تدوین شده است. در فصل اول کلیاتی از مجتمع سنگ آهن چگارت و مدار خردایش سه‌چاهون آمده است. تئوری‌های موجود در زمینه مدل‌سازی آسیا و هیدروسیکلون در فصل دوم آورده شده است. در فصل سوم ابتدا، نمونه برداری صنعتی و کارهای آزمایشگاهی انجام گرفته مورد بحث قرار گرفته است و در ادامه نتایج مربوط به مدل‌سازی هیدروسیکلون توسط روابط پلیت و ناگسوارا رائو و همچنین شبیه سازی آسیاکنی گلوله‌ای توسط نرم افزار BMCS ارائه شده است. در فصل چهارم به بررسی تأثیر پارامترهای عملیاتی بر عملکرد مدار آسیاکنی گلوله‌ای سه‌چاهون پرداخته شده است. کلیات نرم افزار شبیه ساز JKSIMMet و نتایج شبیه سازی مدار سه چاهون، در شرایط طراحی و عملیاتی مختلف، در فصل پنجم آمده است. در فصل ششم، جمع بندی نتایج حاصل از این تحقیق و پیشنهادهای ارائه شده برای مطالعات بعدی آورده شده است.

فصل اول

مجتمع سنگ آهن چغارت

۱-۱- مقدمه

معدن سنگ آهن چغارت در فاصله ۱۲ کیلومتری شمال شرقی شهرستان بافق، ۱۲۵ کیلومتری جنوب شهرستان یزد، ۷۵ کیلومتری جنوب غربی شهر بهاباد و در حاشیه کویر مرکزی ایران واقع شده است. معدن سه‌چاهون در ۴۷ کیلومتری شمال شرقی بافق و ۳۵ کیلومتری معدن چغارت قرار دارد. طرح توسعه مجتمع معدنی سنگ آهن چغارت در فاصله ۱۰ کیلومتری شهرستان بافق در مجاورت سنگ آهن چغارت واقع شده است. شهرستان بافق در مسیر راه آهن سراسری تهران- بندر عباس قرار گرفته و با انشعابی به کرمان متصل است که در آینده از طریق طبس به مشهد نیز متصل خواهد شد [۱].

۱-۲- اطلاعات جغرافیایی معدن سه‌چاهون

کانسار سه‌چاهون در شمال شرق معدن چغارت در طول جغرافیایی ۵۵ درجه و ۴۳ دقیقه شرقی و عرض جغرافیایی ۳۱ درجه و ۵۳ دقیقه شمالی قرار گرفته است. ارتفاع متوسط از سطح دریا ۱۶۵۰ متر است.

آب و هوای منطقه کویری و خشک بوده ، دارای تابستان‌های گرم و زمستان‌های سرد است. به علت اختلاف ارتفاع معدن چغارت و کانسار سه‌چاهون ، اختلاف قابل توجهی در درجه حرارت محدوده این کانسارها وجود دارد [۱].

۱-۳- تاریخچه اکتشافات در سه‌چاهون

عملیات زمین‌شناسی و ژئوفیزیکی در سال ۱۹۶۹ تا ۱۹۷۰ منجر به کشف چند آنومالی از جمله آنومالی XI سه‌چاهون شد. طی قراردادی بین شرکت ملی فولاد ایران و کارشناسان شوروی، گزارش اکتشاف تفضیلی کانسار سنگ آهن سه‌چاهون در ایران مرکزی ارائه گردید. اکتشاف تفصیلی کانسار سنگ آهن سه‌چاهون در سال ۱۹۷۲ توسط کارشناسان شوروی به اتمام رسید که

در نهایت گزارش شامل ۴ جلد در سال ۱۹۷۴ به طرف ایرانی داده شد. عملیات انجام شده شامل حفاری‌های اکتشافی و حفاری‌های پی‌جوبی، نقشه برداری، عملیات سطحی و زیر مینی، نقشه برداری، زمین‌شناسی، نمونه برداری، تجزیه شیمیایی، مطالعات پترولوزی، عملیات چاه پیمایی، منیومتری، گراوی‌متری، تعیین خاصیت فیزیکی سنگ‌ها و تهیه نقشه‌های توپوگرافی بوده است.

۱-۴- زمین‌شناسی منطقه

کانسار سه‌چاهون در سازندهای پر کامبرین پسین ایران مرکزی قرار گرفته است. در بر گیرندهای این کانسار مجموعه‌ای از سنگ‌های آتشفسانی، فیلیت، شیسته‌های متبلور، گنیس و مرمر هستند که بنام سری مراد در فرهنگ چینه شناسی از آن یاد شده است. مجموعه سری مراد با دگرشیبی خفیف توسط طبقاتی متعلق به اینفرا کامبرین متشكل از گدازه، کربنات، شیست، فیلیت و کنگلومرا پوشانده شده که سن آن به اوایل پرکامبرین بر می‌گردد [۱].

۱-۵- ذخیره قابل استخراج

ذخیره قابل استخراج توده جنوبی ۴۹/۶ میلیون تن با متوسط عیار ۳۹/۸٪ آهن، ۵۷٪.
فسفر نسبت $\frac{Fe}{FeO}$ برابر ۳/۰۸، میزان کل باطله برداری ۶۲/۲ میلیون تن و نسبت باطله برداری $\frac{W}{O}$ برابر ۱/۲۵ است [۲].

۱-۶- کارخانه فرآوری خط سه‌چاهون

وجود منابع معدنی سنگ آهن کم عیار در معدن سه‌چاهون و اینکه نمی‌توان از این نوع سنگ مستقیماً در صنایع فولادسازی استفاده نمود، لزوم احداث کارخانه فرآوری با هدف تولید کنسانتره آهن را به وجود آورد. یکی از اهداف طرح توسعه چغارت، تولید ۱/۶ میلیون تن کنسانتره

آهن از معدن سنگ آهن سه‌چاهون جهت مصرف در صنایع فولادسازی است. طبق طراحی، با هدف تولید سالانه $\frac{1}{6}$ میلیون تن کنسانتره آهن با عیار ۶۶ درصد، $\frac{3}{4}$ میلیون تن سنگ آهن کم عیار از معدن سه‌چاهون استخراج و پس از خردایش در سنگ شکن فکی با دانه بندی کوچک‌تر از ۳۰۰ میلی‌متر، توسط نوار نقاله‌ای به طول ۲۳۰ متر جهت بارگیری به انبار سنگ خرد شده منتقل می‌شود. سپس بر روی نوار نقاله هدایت شده و به سیلوهای بارگیری راه آهن منتقل می‌شود، در نهایت سنگ آهن توسط راه آهن بافق-مشهد به محل انبار در سایت چغارت منتقل می‌شود.

در حال حاضر این عمل توسط کامیون انجام می‌گیرد. ماده معدنی پس از تخلیه در ایستگاه چغارت توسط نوار نقاله جهت مخلوط شدن مواد، همگن سازی و ذخیره شده سپس به بخش انباشت بستر همگن ساز منتقل می‌شود. لازم به ذکر است که برای بالا بردن عیار خوراک خط سه‌چاهون، از ترکیب سنگ آهن چغارت و سه‌چاهون استفاده می‌گردد^[۳].

۱-۷- خط تولید سه‌چاهون

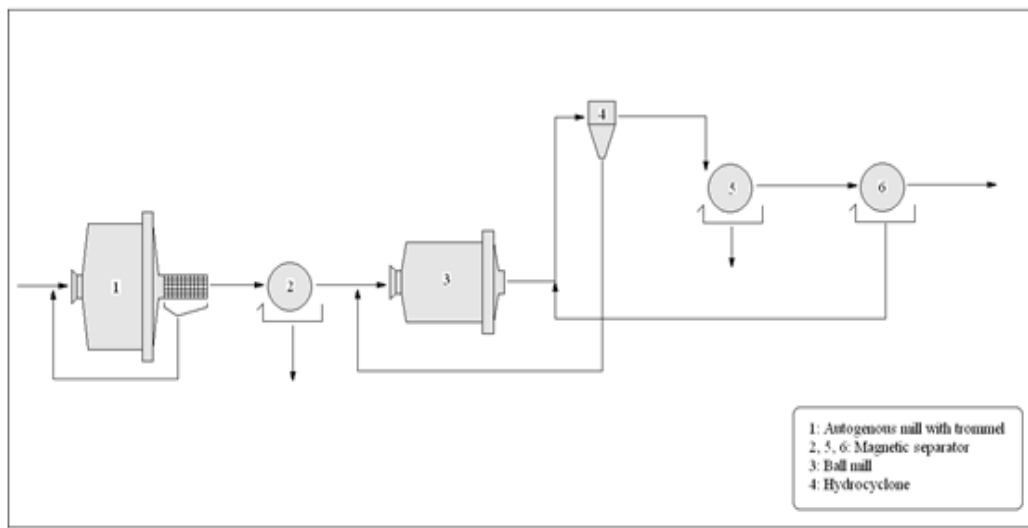
سنگ آهن کم عیار استخراجی از معدن سه‌چاهون پس از خردایش در سنگ شکن فکی با دانه بندی کوچک‌تر از ۳۰۰ میلی‌متر توسط کامیون به بخش همگن ساز منتقل می‌شود. پس از تخلیه، کانسنگ توسط نوار نقاله به بخش انباشت و برداشت بستر کانه آرایی انتقال و از بخش انباشت توسط دستگاه ریکلایمر^۱ و نوار نقاله به سیلوی ۲۰۰۰ تنی حمل و از طریق خوراک دهنده لرزان به آسیای خودشکن جهت آسیا شدن (که در مدار بسته با سرنده لرزان با روزنه ۱ میلی‌متر کار می‌کند) وارد می‌شود. در نهایت مواد خروجی از آسیای خودشکن به همراه آب بر روی سرنده لرزان منتقل می‌شود.

ته ریز سرنده با آب و مواد برگشتی از نمونه گیر S224 که در شاخه خوراک ورودی به جداکننده‌های مغناطیسی اولیه نصب شده است، مخلوط و به چهار شاخه، سه شاخه به سه جداکننده مغناطیسی اولیه وارد می‌شود که به صورت موازی نصب شده‌اند و یک شاخه به نمونه

1. Reclaimer

گیر S224 وارد می‌شود. سپس محصول پر عیار شده جداکننده‌ها جهت خردایش بیشتر و رسیدن به درجه آزادی بیشتر، وارد آسیای گلوله‌ای می‌شود و باطله جداکننده‌ها توسط نمونه گیر S227B نمونه‌گیری شده و در نهایت پس از آبگیری در تیکنر به سد باطله منتقل می‌شود. محصول جداکننده مغناطیسی اولیه بعد از اینکه توسط نمونه گیر S227A نمونه‌گیری شد، به همراه آب و مواد برگشتی از ته ریز هیدروسیکلون (بار در گردش) به منظور رسیدن به دانه بندی و عیار مورد نظر وارد آسیای گلوله‌ای می‌شود. آسیای گلوله‌ای سه‌چاهون که از نوع تخلیه سرریز است، دارای قطر داخلی $4/5$ متر و طول $6/9$ متر است. سرعت این آسیا $15/44$ دور بر دقیقه است که $75/6$ % سرعت بحرانی آن است و با درجه انباشتگی $35/35$ % کار می‌کند. این آسیا در مدار بسته با هیدروسیکلون کار می‌کند. خروجی آسیای گلوله‌ای به همراه باطله حاصل از جداکننده مغناطیسی ثانویه مرحله دوم، وارد هیدروسیکلون می‌شوند. سرریز هیدروسیکلون در سه شاخه، دو شاخه به صورت موازی وارد جداکننده مغناطیسی ثانویه مرحله اول و یک شاخه هم وارد نمونه گیر S245 می‌شود. باطله مرحله اول ضمن اینکه توسط نمونه گیر S248B نمونه‌گیری می‌شود، به تیکنر باطله انتقال می‌یابد [۴].

محصول حاصل از هر کدام از جداکننده‌های ثانویه مرحله اول به همراه آب، وارد جداکننده‌های مغناطیسی ثانویه مرحله دوم می‌شوند. باطله‌های این مرحله با هم مخلوط و به ورودی هیدروسیکلون منتقل می‌شوند. کنسانتره حاصل از جداکننده‌های مغناطیسی ثانویه مرحله دوم به بخش فیلتراسیون انتقال می‌یابد. کنسانتره آبگیری شده توسط نوار نقاله به محوطه انباشت منتقل می‌شود. ظرفیت طراحی تولید کنسانتره خط سه‌چاهون برابر 245 تن کنسانتره در ساعت با عیار $66/6$ % آهن و $9/9$ % رطوبت می‌باشد. فلوشیت ساده‌ای از خط تولید سه‌چاهون در شکل ۱-۱ نشان داده شده است. مشخصات طراحی آسیا و هیدروسیکلون‌ها در جدول ۱-۱ و جدول ۲-۱ آورده شده است [۴].



شکل ۱-۱- فلوشیت خط تولید سه چاهون کارخانه فرآوری چغارات [۴]

جدول ۱-۱- مشخصات طراحی مدار بسته آسیای گلوله‌ای سه چاهون [۴]

مشخصات آسیا	
تخليه سرريزى تر	نوع آسيا
۴/۵ متر	قطر آسيا
۶/۹ متر	طول آسيا
۶ کيلو وات ساعت بر تن	انرژي خالص مصرفی
۳۰۰ تن بر ساعت	نرخ خوراک تازه ورودی به آسيا (خشک)
۴/۶۶ تن بر متر مکعب (متوسط)	وزن مخصوص کانه
۴۶ میکرون	ابعاد خوراک (F_{80})
۸۰ میکرون	ابعاد محصول (P_{80})
۱۵/۴۴ دور بر دقیقه ۷۵/۶٪ سرعت بحرانی	سرعت آسيا (ثابت)
۲۵۰۰ کيلو وات	قدرت اسمی موتور
۹۹۳ دور بر دقیقه (ثابت)	سرعت موتور
فولادی- لاستیکی	جنس آستر
برای کار٪ ۳۵ ماکزیمم٪ ۴۰	میزان شارژ گلوله

در ماکزیمم شارژ گلوله، ۱۷۵ تن ۵۰ میلی‌متر =٪۴۲ ۴۰ میلی‌متر =٪۴۲ ۳۰ میلی‌متر =٪۱۳ ۲۵ میلی‌متر =٪۳	واسطه خردایش
--	--------------

جدول ۲-۱- مشخصات هندسی هیدروسیکلون سه‌چاهون [۴]

قطر ورودی	۲۸/۲۲ سانتی متر
قطر سیکلون	۶۶/۰۴ سانتی متر
ارتفاع آزاد سرریز	۱۷۰ سانتی متر
قطر سرریز	۲۵/۴ سانتی متر
قطر ته ریز	۱۰/۱۶ سانتی متر
زاویه مخروط	۱۲ درجه
تعداد هیدروسیکلون در مدار موازی	۳

جدول ۳-۱- مشخصات جداکننده‌های مغناطیسی اولیه [۳]

نوع جداکننده	۲ استوانه‌ای
نوع مخزن	غیر هم جهت (با گردش استوانه‌ها)
ظرفیت طراحی	(۴۶۹ m ³ /h) ۱۸۳ t/h
درصد جامد خوراک	٪۳۰ وزنی
دانسیته پالپ	۱۳۱۰ g/l
قطر استوانه	۱۲۰۰ mm
طول استوانه	۳۰۰۰ mm
سرعت	۱/۲ mm
تعداد قطبها	۵
فاصله (گام) تا قطب	۲۸۵ mm
شدت میدان	۱۹۰۰ گوس در سطح استوانه

جدول ۴-۱- مشخصات جریان مربوط به هر یک از شاخه‌های مدار خط تولید سه‌چاهون در طراحی اولیه

[۴] انجام گرفته

آب اضافه شده (m ³ /h)	دبی پالپ (m ³ /h)	آب (m ³ /h)	گرم جامد در هر لیتر پالپ	درصد وزنی جامد	جامد خشک (t/h)	شاخه
۳۵۵	۷۶۸	۵۴۳	۱۰۶۰	۶۰	۸۱۴	خروجی آسیای خودشکن
	-	۱۰	-	۹۵	۱۸۶	رو سرندی
	۱۰۶۲	۸۸۸	۵۹۱	۴۱	۶۲۸	زیر سرندی
۵۷۶	۱۱۴۴	۹۶۲	۵۷۶	۴۱	۶۵۹	خوراک کل جداکننده مغناطیسی اولیه
	۵۴۶	۴۸۸	۳۸۳	۳۰	۲۰۹/۳	خوراک هر کدام از جداکننده مغناطیسی اولیه
	۸۲	۷۴	۳۸۳	۳۰	۳۱	نمونه گیر S224
	۱۹۲	۱۲۸	۱۵۶۳	۷۰	۳۰۰	محصول کل جداکننده مغناطیسی اولیه
	۱۴۵	۱۳۳۶	۲۲۶	۲۰	۳۲۸	باطله کل جداکننده مغناطیسی اولیه
	۱۴۵	۱۳۴	۲۲۶	۲۰	۳۳	نمونه گیر S227B
	۲۳۲	۱۶۶	۱۲۹۳	۶۴	۳۰۰	ته ریز سیکلون
۱۰۶	۵۳۰	۴۰۰	۱۱۳۲	۶۰	۶۰۰	ورودی آسیای گلوله‌ای
	۵۳۰	۴۰۰	۱۱۳۲	۶۰	۶۰۰	خروجی آسیای گلوله‌ای
	۴۴	۳۹	۳۹۲	۳۰	۷	نمونه گیر S245

ادامه جدول ۴-۱- مشخصات جریان مربوط به هر یک از شاخه‌های مدار خط تولید سه‌چاهون در طراحی
اولیه انجام گرفته [۴]

	۱۰۹۸	۹۵۷	۵۸۲	۴۰	۶۳۹	ورودی هیدروسیکلون
	۵۲۴	۵۱۸	۴۲	۴	۲۲	باطله مرحله دوم جداکننده مغناطیسی ثانویه
	۸۶۶	۷۹۱	۳۹۲	۳۰	۳۳۹	سرریز هیدروسیکلون
	۴۱۱	۳۷۶	۳۹۲	۳۰	۱۶۱	خوارک هر یک از جداکننده‌های مرحله اول مغناطیسی ثانویه
۲۵۴/۵	۸۴.۵	۵۷	۱۵۸۰	۷۰	۱۳۳/۵	محصول هر یک از جداکننده‌های مرحله اول مغناطیسی ثانویه
	۳۲۶/۵	۳۱۹	۸۴	۸	۲۷/۵	باطله هر یک از جداکننده‌های مغناطیسی ثانویه مرحله اول
	۳۳۹	۳۱۱/۵	۳۹۴	۳۰	۱۳۳/۵	خوارک هر یک از جداکننده‌های مغناطیسی ثانویه مرحله دوم
	۷۷	۵۲/۵	۱۵۹۰	۷۰	۱۲۲/۵	محصول هر یک از جداکننده‌های مغناطیسی ثانویه مرحله دوم
	۲۶۲	۲۵۹	۴۲	۴	۱۱	باطله هر یک از جداکننده‌های مغناطیسی ثانویه مرحله دوم
	-	۲۵/۷	-	۹۰/۵	۲۴۵	کنسانتره نهایی آبگیری شده
	۲۱۰۴	۱۹۷۴	۱۸۲	۱۶	۳۸۳	باطله کلی کارخانه

فصل دوم

مدل‌سازی آسیای گلوله‌ای و هیدروسیکلون